



قابلیت‌های تولید نانوساختار سیلیسی از کلش برنج

امیرفرهنگ سروش^۱، عصفر ابراهیم‌پور کاسمانی^۲، سید رحمان جعفری پتروودی^۳

۱. دانش آموخته کارشناسی ارشد گروه چوب و کاغذ، واحد سوادکوه، دانشگاه آزاد اسلامی، سوادکوه

۲. دانشیار گروه چوب و کاغذ، واحد سوادکوه، دانشگاه آزاد اسلامی، سوادکوه

۳. استادیار، گروه پالایش زیستی، دانشکده مهندسی فناوری‌های نوین، دانشگاه شهری بهشتی، زیراب، سوادکوه

تاریخ دریافت: ۱۳۹۷/۰۴/۲۲ ، تاریخ پذیرش: ۱۳۹۷/۰۶/۰۵

چکیده

هر ساله حجم بسیار زیادی از کلش برنج پس از استحصال برنج به دلیل نبود استفاده مشخص سوزانده می‌شود، در حالی که امکان استفاده از این ضایعات برای تولید محصولاتی با ارزش افزوده زیاد با در نظر گرفتن مفهوم پالایش زیستی وجود دارد. این تحقیق با هدف بررسی استخراج سیلیس از کلش برنج *Oryza Sativa var Indica* به عنوان یکی از مهم‌ترین ضایعات کشاورزی و تعیین قابلیت‌های آن برای تولید نانوساختار سیلیس انجام گرفت. بعد از شستشو، خشک کردن و آسیاب کردن نمونه‌ها، بعضی از آنها به صورت جداگانه در شرایط اسیدشویی اسید سولفوریک و اسید کلریدریک با غاظت ۰/۵ مولار و به مدت ۳۰ دقیقه (با هم زدن یکنواخت) قرار گرفتند. سپس مقدار سیلیس نمونه‌های اسیدشویی شده و نمونه‌های بدون اسیدشویی در کوره با حرارت‌های ۵۰۰، ۶۰۰، ۷۰۰ و ۸۰۰ درجه سانتی گراد به مدت دو ساعت اندازه‌گیری شد. نتایج طیف‌سنجی پراش انرژی پرتو ایکس و فلورسانس پرتو ایکس، بیانگر وجود حداقلی سیلیس در خاکستر حاصل از کلش برنج بوده است. نتایج طیف‌سنجی‌ها نشان داد که در صد خلوص سیلیس در نمونه‌های با اسیدشویی، از نمونه‌های بدون اسیدشویی بیشتر است؛ این مقدار در نمونه‌های اسید کلریدریک بیش از ۹۶ درصد بود. نتایج بررسی روبشی گسیل - میدانی با میکروسکوپ الکترونی نیز متوسط اندازه نانوسیلیس کروی ۳۰ نانومتر را برای نمونه‌های بدون اسیدشویی و کمتر از ۱۲ نانومتر را برای نمونه‌های اسیدشویی شده تأیید کرد.

واژه‌های کلیدی: اسید سولفوریک، اسید کلریدریک، خاکستر، کلش برنج، نانوسیلیس.

دارد [۱]. کلش برنج و کاه گندم با سهم ۵۱ درصدی، بیشترین سهم را در تولید خمیر کاغذ از گیاهان غیر چوبی دارند [۲]. دلیل این موضوع، دارا بودن مزایایی از جمله فراوانی، لیگنین کمتر، ساختار بازتر و استفاده از مواد شیمیایی و انرژی کمتر در طول فرایند پخت است. البته این منابع دارای معایبی از جمله مقدار خاکستر (سیلیس بیشتر) به ویژه در کلش برنج نسبت به چوب است که استفاده از آنها را در این صنایع با محدودیت‌هایی مواجه کرده است. البته این نکته

مقدمه

برنج (*Oryza Sativa*) بعد از گندم مهم‌ترین محصول زراعی و غذایی بیش از نیمی از مردم جهان است. سطح زیر کشت برنج بعد از گندم در رتبه دوم است، ولی سهم آن از نظر کالری تولیدی از غلات دیگر بیشتر است. استان مازندران با ۲۳۷ هزار هکتار سطح زیر کشت برنج، مقام اول را در کشور

* نویسنده مسئول: تلفن: ۰۹۱۱۱۲۸۹۵۵۴
Email: sr_jafari@sbu.ac.ir

از سیلیس مانند کلش و سبوس برنج در چند سال اخیر در جهان بسیار مورد توجه محققان در زمینه‌های مختلف تحقیقاتی قرار گرفته است [۶-۳]؛ اگرچه روش‌های مختلفی نیز برای تولید نانوسیلیس پیشنهاد شده است [۷-۳]. نانوسیلیس تولیدشده از سبوس برنج دارای ابعاد مختلف ضخامت 3 نانومتر و قطر 172 نانومتر [۳]، متوسط اندازه ذرات 60 نانومتر [۴]، ذرات کروی به قطر $40-50$ نانومتر [۵]، ذرات کروی به قطر 30 نانومتر [۶] و ویژگی‌های مختلف [۷] بوده‌اند. همچنین بسته به روش‌های مختلف، تولید ویژگی‌های نانوسیلیس تولیدی به لحاظ سطح ویژه، ابعاد و خلوص متفاوت است [۷]. در ایران، کلش برنج پس از استحصال برنج به دلایل مختلف از قبیل از بین بردن آفات، دشواری و هزینه حمل بسیار زیاد سوزانده می‌شود و در چند سال اخیر مشکلات زیست‌محیطی بسیاری را نیز برای بعضی از مناطق جغرافیایی از جمله استان‌های مازندران و گیلان ایجاد کرده است. با عنایت به مشکلات موجود در استفاده از این ماده برای تولید خمیرکاغذ، تحقیق حاضر در نظر دارد که براساس مفهوم جدید پالایش زیستی، استفاده بهینه از این ماده را به عنوان یکی از مهم‌ترین ضایعات کشاورزی برای تولید محصولات دارای ارزش افزوده زیاد معرفی کند. بنابراین به نظر می‌رسد که استخراج سیلیس از ساقه برنج با توجه به موارد ذکرشده می‌تواند جنبه اقتصادی هم داشته باشد. از آنجا که حجم بسیار زیادی از کلش برنج و سبوس ناشی از آن به دلیل نبود استفاده مشخص دور ریخته می‌شود، یکی از اهداف اصلی این تحقیق، استخراج سیلیس از این ضایعات کشاورزی و استفاده از قابلیت‌های آن برای تولید نانوسیلیس است.

مواد و روش‌ها

آماده‌سازی ماده اولیه

نمونه‌های کلش برنج از نوع *Oryza Sativa var Indica* به صورت کاملاً تصادفی در سال زراعی ۱۳۹۵ از شالیزارهای

شایان ذکر است که در حال حاضر، تولید خمیر کاغذ از کلش برنج به واسطه وجود سیلیس محدودیت‌های زیادی ایجاد کرده است. به همین منظور، تحقیقاتی برای کاهش سیلیس موجود در لیکور سیاه انجام گرفته است. این مطالعات در سه بخش اصلاح نوع فرایندهای خمیرسازی جدید و بهره‌گیری از روش‌های سیلیس‌زدایی مناسب متمرکر شده‌اند [۱]. بنابراین اطلاع از ساختار و ویژگی‌های این مواد در استفاده مناسب‌تر از آنها به منظور کاربرد در صنایع خمیرکاغذ ضروری به نظر می‌رسد. سیلیس (SiO_2) دومین عنصر از نظر فراوانی در پوسته زمین است. این عنصر از مهم‌ترین مواد معدنی است که کاربردهای بسیار گسترده‌ای از قبیل شیشه‌سازی، تولید فیبرهای نوری، ساخت عایق‌های الکتریکی و حرارتی، ساخت جاذب‌ها و تولید محصولات دارویی دارد. برنج یکی از گیاهان دارای درصد زیاد سیلیس است که با جذب اسید مونو سالیسیلیک خاک از طریق ریشه‌ها، آن را به شکل پلیمری در ساقه، برگ، شاخه، گره و سبوس ذخیره می‌کند. مقدار سیلیس کلش برنج، علاوه بر نوع گونه برنج، شرایط جغرافیایی و شرایط برداشت، در بخش‌های مختلف گیاه برنج نیز متفاوت است و از پایین ساقه به سمت بالای آن افزایش می‌یابد [۱]. جعفری پترودی و همکاران (۲۰۱۶) ضمن تحقیق درباره مقدار سیلیس کلش برنج، درصد سیلیس را در قسمت‌های مختلف ساقه شامل میان‌بند $(17/2)$ ، گره (22) ، خوش $(13/3)$ ، غلاف یا برگ (22) و کل ساقه (کلش) برنج $(18/6)$ اعلام کرده‌اند [۱]. براساس گزارش سازمان FAO، مقدار تولید برنج در سال 2011 حدود 475 میلیون تن و سهم ایران حدود $3/2$ میلیون تن بوده است. مقدار تولید سالانه سبوس برنج حدود یک‌پنجم مقدار تولید برنج آن است [۲]، یعنی در ایران سالانه باید حدود 640 هزار تن پوسته برنج تولید شود. در ضمن در این بین باید ضایعات کلش (ساقه) برنج را هم که بیش از یک میلیون و پانصد هزار تن [۱] است، به کل ضایعات این ماده اضافه کرد. استخراج سیلیس از زیست‌توده گیاهی غنی

زیر، بازده استخراج محاسبه شد.

$$\frac{\text{جرم باقیمانده سیلیس}}{\text{جرم اولیه برنج کلش}} * 100 = \text{بازده استخراج} \quad (1)$$

اثبات وجود سیلیس در نمونه‌ها

برای اثبات وجود سیلیس در نمونه‌ها از سیستم طیف‌سنجی Energy نتکیک انرژی پراش انرژی پرتو ایکس (EDX) (Dispersive X ray) یا EDX استفاده شد. این سیستم روی دستگاه میکروسکوپ الکترونی روشی SEM از نوع Mira 3-XMU نصب شده بود. مقدار سیلیس موجود در نمونه‌ها با استفاده از استاندارد ASTM E 1621-13 و با بهره‌گیری از دستگاه طیف‌سنجی فلوروسانس پرتو ایکس XRF مدل XARL Perform آسیاب شده با اندازه مش ۲۰۰ روی استوانه دستگاه قرار گرفتند. وزن از دست رفته (L.O.I) نمونه نیز براساس استاندارد ۱۳ - D7348 ASTM اندازه‌گیری شد؛ به این ترتیب که نمونه به مدت ۱/۵ ساعت در دمای ۹۵۰ درجه سانتی گراد قرار داده شد.

نحوه شناسایی نانو سیلیس در نمونه‌ها

برای مشاهده نانو سیلیس در نمونه‌ها از دستگاه میکروسکوپ الکترونی روشی گسیل میدانی (FESEM) مدل Mira 3-XMU استفاده شد. آماده‌سازی نمونه‌ها با استفاده از پوشش دهنده سطح آنها با لایه نازکی از طلا انجام گرفت. برای مطالعه کیفی نانو سیلیس، نمونه در بزرگنمایی‌های مختلف نظیر ۵، ۱۵، ۳۵ و ۳۵۰ هزار برابر تجزیه و تحلیل شد. برای اندازه‌گیری نانو سیلیس نیز دست کم ۶۰ نانو ذره اندازه‌گیری شد.

کدگذاری نمونه‌ها

کدگذاری نمونه‌های کلش برنج و شرایط تیماری مختلف آن با استفاده از اسیدهای کلریدریک و سولفوریک در جدول ۱ به صورت واضح ترسیم شده است.

شهرستان سوادکوه استان مازندران جمع‌آوری شد. کلش برنج جمع‌آوری شده به صورت کامل و بدون غلاف یا برگ با مقدار مناسبی آب به منظور جداسازی شن، خاک و دیگر ناخالصی‌های محلول در آب شست و شو داده شد. سپس نمونه کلش برنج در هوای آزاد قرار داده شد تا به خوبی هوا خشک شود. سپس نمونه‌ها به صورت مجرأ به سیله آسیاب چکشی خرد شدند. پودر کلش برنج عبوری از روش مش ۴۰ و باقی‌مانده روی مش ۶۰ در مراحل بعدی آزمایش استفاده شد. مواد اولیه آماده شده در بندهای یادشده به مدت ۲۴ ساعت در دمای ۱۱۰ درجه سانتی گراد قرار گرفت تا کاملاً خشک شود.

اسیدشویی (پیش‌تیمار) نمونه‌های کلش برنج

کلش برنج با ویژگی‌های متفاوت تشریح شده در بندهای بالا به صورت جداگانه با اسیدهای معدنی غلیظ مانند اسید سولفوریک و اسید هیدروکلریدریک ۰/۵ مولار با نسبت هشت (اسید) به یک (کلش برنج) به مدت ۳۰ دقیقه در دمای ۶۰ درجه سانتی گراد در حمام آبی با دمای کترپل پذیر به همراه هم زدن یکسان و یکنواخت قرار داده شد. سپس به منظور قرار دادن نمونه در کوره، مواد اولیه تیمار شده با اسیدهای ذکر شده به صورت کامل روی قیف بوخرن و با استفاده از کاغذ صافی بدون خاکستر تا رسیدن به pH خنثی با آب مقطر شست و شو داده شد و سپس هوا خشک شد.

تولید خاکستر از نمونه‌های کلش برنج

در این بخش نمونه‌های مختلف کلش برنج در درون آون با درجه حرارت ۱۱۰ درجه سانتی گراد به مدت ۲۴ ساعت قرار گرفت و کاملاً خشک شد و نیز در داخل کوره با حرارت غیرمستقیم در درجه حرارت‌های متفاوت ۵۰۰، ۴۰۰، ۳۷۰، ۳۰۰ و ۲۷۰ درجه سانتی گراد به مدت دو ساعت قرار داده شد و تغییر وزن ناشی از سوخته شدن مواد آلی در درجه حرارت‌های زیاد ارزیابی شد.

محاسبه بازده استخراج سیلیس

در این بخش پس از استخراج سیلیس با استفاده از فرمول

جدول ۱. شرایط تیماری مختلف و کد گذاری نمونه‌ها برای کلش برنج استفاده شده در این تحقیق

درجه حرارت گوره (درجه سانتی گراد)	نام کد	ردیف
۵۰۰	UR500	۱. کلش برنج بدون پیش تیمار (UR)
۶۰۰	UR600	
۷۰۰	UR700	
۸۰۰	UR800	
۹۰۰	UR900	
۵۰۰	SR500	۲. کلش برنج با پیش تیمار اسید سولفوریک (SR)
۶۰۰	SR600	
۷۰۰	SR700	
۸۰۰	SR800	
۹۰۰	SR900	
۵۰۰	CR500	۲. کلش برنج با پیش تیمار اسید کلریدریک (CR)
۶۰۰	CR600	
۷۰۰	CR700	
۸۰۰	CR800	
۹۰۰	CR900	

CR500 دارای بازده ۷ درصد است و با افزایش درجه حرارت تا ۶۰۰ درجه سانتی گراد از بازده آن ۷/۱۴ درصد کاسته شد و از درجه حرارت ۶۰۰ تا ۹۰۰ درجه سانتی گراد به طور ثابت و یکسان به ۶/۵ درصد رسید. پیش تیمار اسید سولفوریک دارای کمترین بازده بود؛ یعنی بازده اولیه ۶ درصد و سپس با اعمال درجه حرارت های مختلف به ۵/۵ درصد رسید. البته پس از تیمار با اسید کلریدریک همانند پیش تیمار با اسید سولفوریک نیز تغییرات زیادی در عناصر موجود در خاکستر تولیدی ایجاد شد؛ درحالی که بازده ۱۱/۴۷ درصدی تولید سیلیس از کلش برنج پیشتر توسط لو و سیه (۲۰۱۲) گزارش شده بود [۳].

نتایج و بحث

استخراج سیلیس از کلش برنج بدون پیش تیمار و پیش تیمارهای اسید کلریدریک و اسید سولفوریک بازده استخراج

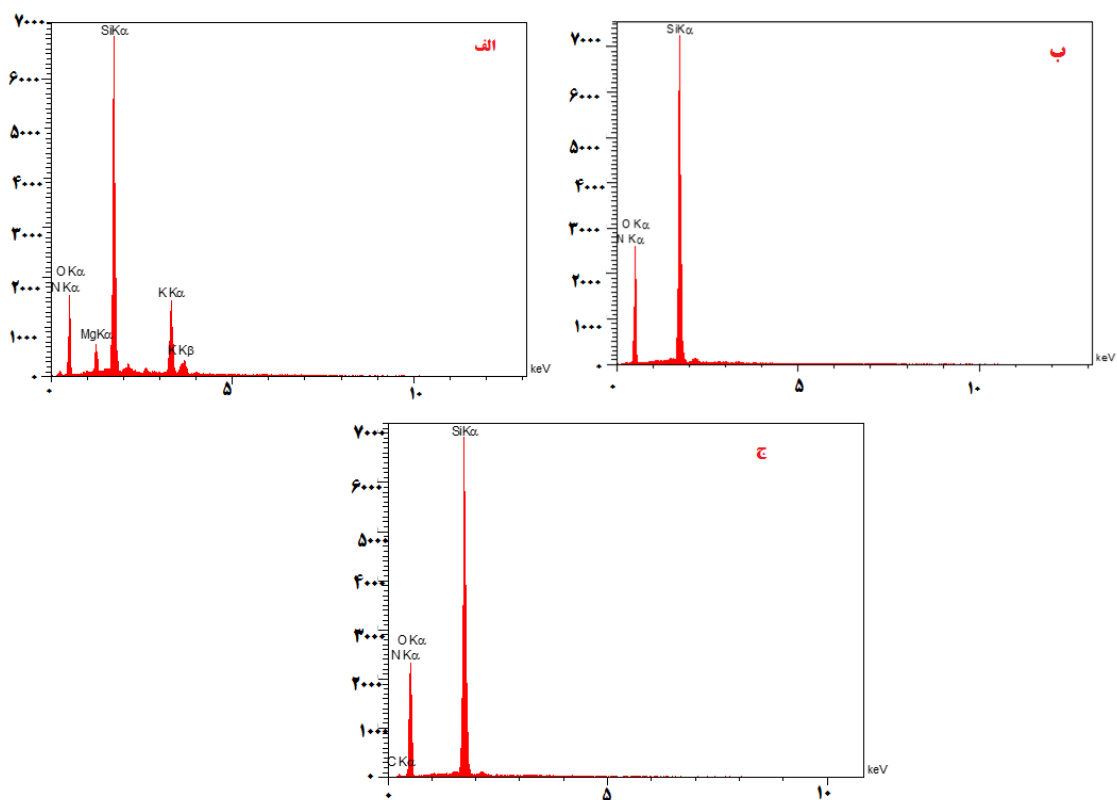
شکل ۲ بازده استخراج سیلیس از نمونه‌های کلش برنج را نشان می‌دهد. همان‌طور که در شکل مشاهده می‌شود، نمونه‌های بدون پیش تیمار (UR500) دارای بازده ۷/۵ درصد به لحاظ ترکیبات معدنی است و با افزایش درجه حرارت تا ۶۰۰ درجه سانتی گراد از بازده آن ۶/۶۶ درصد کاسته شد و از درجه حرارت ۶۰۰ تا ۹۰۰ درجه سانتی گراد به طور ثابت و یکسان به ۷ درصد (UR600) رسید، درحالی که با پیش تیمار اسید کلریدریک نمونه‌های

منیزیم، پتاسیم و سیلیسوم در خاکستر کلش برنج بدون پیش‌تیمار وجود دارند و بیشترین شدت اندازه‌گیری شده مربوط به سیلیس است.

طیف‌سنجی پراش انرژی پرتو ایکس (EDX/SEM)
نتایج طیف‌سنجی پراش انرژی پرتو ایکس (شکل ۲) نیز نشان می‌دهد که عناصر مختلفی شامل کربن، اکسیژن،



شکل ۱. بازدۀ استخراج سیلیس از نمونه‌های کلش برنج با پیش‌تیمارهای مختلف



شکل ۲. نتایج طیف‌سنجی پراش انرژی پرتو ایکس برای (الف-UR900) نمونه‌های بدون پیش‌تیمار (ب-CR900) نمونه‌های با پیش‌تیمار اسید کلریدریک و (ج-SR900) نمونه‌های با پیش‌تیمار اسید سولفوریک

چشمگیر یعنی ۴۷ و ۴۲ درصد به ترتیب با پیش‌تیمار اسید کلریدریک و سولفوریک مواجه شد. این نتایج با جزئیات کامل در جدول ۳ خلاصه شده است. البته نانوسیلیس استخراج شده دارای ساختار بسیار ریز نامنظم بود. این نتایج هم پیشتر در مورد پوسته برنج گزارش شده بود [۷-۹]. اگرچه روش‌های بیولوژیکی با بهره‌گیری از قارچ‌ها نیز برای تولید نانوکریستالین سیلیس پیشنهاد شده است [۱۰].

میکروسکوپ الکترونی رو بشی گسیل میدانی
تصاویر میکروسکوپ الکترونی رو بشی گسیل میدانی (شکل ۳) نانوسیلیس تولید شده از کلش برنج بدون هیچ‌گونه پیش‌تیمار در بزرگنمایی‌ها و اندازه‌های مختلف در شکل ۳ نشان داده شده است. براساس تصاویر حاصل می‌توان نتیجه گرفت که متوسط اندازه نانوسیلیس تولید شده از کلش برنج کمتر از ۳۰ نانومتر است.

با اعمال پیش‌تیمار اسید کلریدریک متوسط اندازه نانوسیلیس تهیه شده کمتر از ۱۰ نانومتر اندازه‌گیری شد (شکل ۴). همچنین براساس یافته‌های میکروسکوپ الکترونی رو بشی گسیل میدانی، متوسط اندازه نانوسیلیس تهیه شده با استفاده از پیش‌تیمار اسید سولفوریک ۱۲ نانومتر بود. البته همگنی و پراکنش بسیار منظمی هم در تصاویر مربوط به کلش برنج پیش‌تیمار شده با اسید سولفوریک و اسید کلریدریک ملاحظه می‌شود. اگرچه نانوسیلیس تولید شده با پیش‌تیمار اسید کلریدریک هم به لحاظ خلوص، مقدار و متوسط اندازه از پیش‌تیمار اسید سولفوریک بسیار بهتر بود. همچنین با ملاحظه این تصویر می‌توان دریافت که ذرات نانوسیلیس تولید شده، ابعاد منظم کروی دارند. نتایج این تحقیق به لحاظ متوسط اندازه نانوسیلیس تولیدی بهتر از نتایج لیو و همکاران (۲۰۱۱) و مور و همکاران (۲۰۱۷) بود که به ترتیب این مقدار را ۴۰-۵۰ نانومتر و ۱۰-۳۰ نانومتر گزارش کردند.

این عنصر در ولتاژ ۱/۷۳۹ کیلوولت دارای ارتفاع بیشتری از دیگر عناصرها بود. شدت اندازه‌گیری شده سیلیس در این نمونه ۷۵۰ واحد در محدوده K α بود. چنین سطح ولتاژی در همه نمونه‌های خاکستر بدون پیش‌تیمار و پیش‌تیمارهای اسیدی مشهود است. پس از اعمال پیش‌تیمارهای اسیدی عناصر موجود در خاکستر کلش برنج به عناصری از قبیل کربن، اکسیژن، نیتروژن و سیلیس در مورد اسید سولفوریک و عناصر نیتروژن، اکسیژن و سیلیس محدود شد. مشابه این نتایج نیز پیشتر توسط لو و سیه (۲۰۱۲) بیان شده بود [۳]. شدت اندازه‌گیری شده سیلیس نیز پس از اعمال پیش‌تیمارهای اسیدی افزایش چشمگیری داشت، به‌طوری که از ۷۵۰ واحد در مورد نمونه پیش‌تیمار شده به ۲۴۳۰ در مورد پیش‌تیمار اسید کلریدریک و ۱۹۶۲ واحد در پیش‌تیمار اسید سولفوریک رسید.

طیف‌سنج فلورانس پرتو ایکس

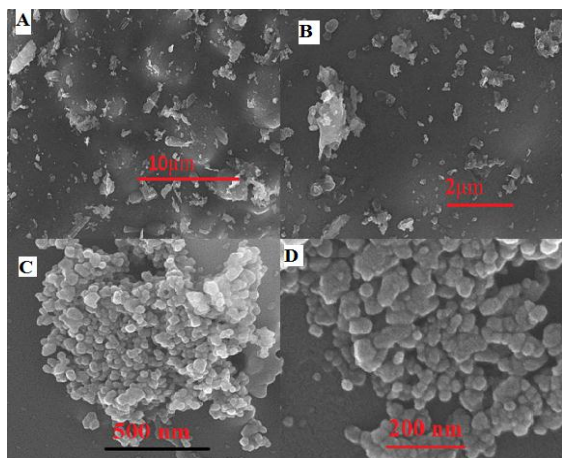
یافته‌های طیف‌سنج فلورانس پرتو ایکس هم تأییدی بر حضور حداکثری سیلیس و ترکیبات نانویی آن در خاکستر تولیدی است؛ به‌طوری که این مقدار به ترتیب برای کلش برنج بدون پیش‌تیمار، پیش‌تیمار اسید کلریدریک و اسید سولفوریک به ۶۵/۲۹، ۶۵/۰۳ و ۹۲/۶۵ درصد رسید. در مورد کلش برنج بدون پیش‌تیمار بعد از سیلیکا، بیشترین مقدار وزنی خاکستر به اکسید پتاسیم و اکسید کلسیم ارتباط دارد.

البته اکسیدهای فلزی دیگری نظیر آلومینیوم، منگنز، سدیم، آهن، کلسیم، فسفر و منیزیم نیز به عنوان ترکیبات احصا شده گزارش شدند. این ترکیبات نیز پیشتر توسط لو و سیه (۲۰۱۲) و شن (۲۰۱۷) گزارش شده بود [۳، ۷]؛ در حالی که عملیات پیش‌تیمار اسیدی، به کاهش چشمگیر همه اکسیدهای فلزی موجود در کلش برنج منجر شد و در عوض مقدار اکسید سیلیس یا سیلیکا با افزایش

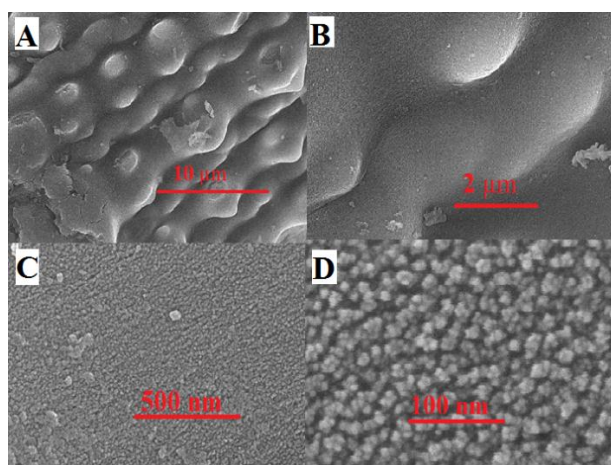
جدول ۲. مقدار ترکیبات شیمیایی موجود در خاکستر کلش برنج بدون پیش‌تیمار، پیش‌تیمار اسید سولفوریک و اسید کلریدریک

ردیف	ترکیب شیمیایی	بدون پیش‌تیمار اسید سولفوریک	پیش‌تیمار اسید کلریدریک	درصد وزنی
۱	اسید سیلیس (سیلیکا) SiO_2	۶۵/۲۹	۹۶/۰۳	۹۲/۶۵
۲	اسید آلمینیوم Al_2O_3	*	*	*
۳	اسید منگنز MgO	۶/۷۷	*	*
۴	اسید سدیم Na_2O	*	*	*
۵	اسید پتاسیم K_2O	۱۴/۲۳	*	*
۶	کلر Cl	۱/۳۹	*	*
۷	اسید کلسیم CaO	۵/۱۸	*	*
۸	اسید فسفر P_2O_5	۱/۹۱	*	*
۹	وزن ازدست‌رفته (L.O.I)	۲/۷۵	۱/۲۷	۵/۳۴
۱۰	جمع کل	۱۰۰	۱۰۰	۱۰۰

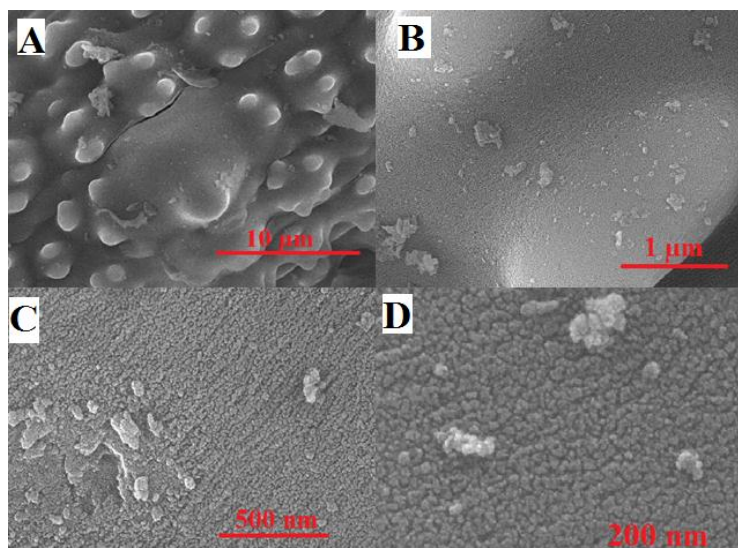
* درصد وزنی کمتر از ۱ درصد اندازه‌گیری شده است.



شکل ۳. تصاویر میکروسکوپ الکترونی روبشی گسیل میدانی نانو سیلیس تهیه شده از کلش برنج بدون پیش‌تیمار: بزرگنمایی ۵هزار برابر (A); بزرگنمایی ۱۵هزار برابر (B); بزرگنمایی ۷۵هزار برابر (C); بزرگنمایی ۱۵۰هزار برابر (D)



شکل ۴. تصاویر میکروسکوپ الکترونی روبشی گسیل میدانی نانو سیلیس تهیه شده از کلش برنج با پیش‌تیمار اسید کلریدریک: بزرگنمایی ۵هزار برابر (A); بزرگنمایی ۳۵هزار برابر (B); بزرگنمایی ۷۵هزار برابر (C); بزرگنمایی ۳۵۰هزار برابر (D)



شکل ۵. تصاویر میکروسکوپ الکترونی روبشی گسیل میدانی نانوسیلیس تهیه شده از کلش برنج با پیش‌تیمار اسید سولفوریک: بزرگنمایی ۵هزار برابر (A); بزرگنمایی ۳۵هزار برابر (B); بزرگنمایی ۷۵هزار برابر (C); بزرگنمایی ۱۵۰هزار برابر (D)

سولفوریک نتایج بهتری به لحاظ خلوص و متوسط اندازه نانوذرات ارائه کرد. یافته‌های میکروسکوپ الکترونی روبشی گسیل میدانی نیز متوسط اندازه کمتر از ۱۲ نانومتر برای اسید سولفوریک و کمتر از ۱۰ نانومتر به همراه پراکنش منظم و یکنواخت را برای نانوسیلیس تولید شده با پیش‌تیمار اسید کلریدریک اثبات کرد.

سپاسگزاری

نویسنده‌گان از حمایت‌های دانشگاه آزاد اسلامی واحد سوادکوه تقدیر و تشکر می‌کنند.

نتیجه‌گیری

این تحقیق با هدف و رویکرد مفهوم پالایش زیستی یعنی تولید محصولات با ارزش افزوده بسیار زیاد نظری نانوسیلیس از ضایعات کشاورزی نظیر کلش برنج انجام گرفت. از فرایند پیش‌تیمار با اسیدهای غلیظ نظیر سولفوریک و کلریدریک به عنوان فرایندی ساده و سریع به این منظور استفاده شد. در این تحقیق وجود حداقل سیلیس به لحاظ کمی و کیفی از طریق طیفسنجی پراش انرژی پرتو ایکس و طیفسنجی فلورسانس پرتو ایکس تأیید شد. استفاده از اسید کلریدریک نسبت به اسید

References

- [1]. Jafari Petroudy, S.R., Resalati, H., and Rasooly Garmroody, E. (2015). The effect of type pulping process on the desilication of rice straw black liquor. Journal of Wood and Forest Science and Technology, 22(1): 45-60.
- [2]. Food and Agriculture Organization of the United Nations. FAOSTAT. Retrieved. (2011), <http://faostat.fao.org>.
- [3]. Liou, T.H. (2004). Preparation and characterization of nano-structured silica from rice husk. Materials Science and Engineering A. 364 (1-2): 313-323.
- [4]. Lu, P., and Hsieh, Y.L. (2012). Highly pure amorphous silica nano-disks from rice straw. Powder Technology, 225: 149–155
- [5]. Liu,Y., Guo,Y., Zhu,Y., An,D.,Gao,W., Wang,Z., Ma,Y., and Wang,Z. (2011). A sustainable route for the preparation of activated carbon and silica from rice husk ash. Journal of Hazardous Materials, 186(2-3): 1314–1319

- [6]. Li, Y., Ding, X., Guo, Y., Rong, C., Wang, L., Qu, Y., Ma, X., and Wang, Z. (2011). A new method of comprehensive utilization of rice husk. *Journal of Hazardous Materials*, 186(2-3): 2151–2156.
- [7]. Mor, S., Manchanda, C.K., Kansal, S.K., and Ravindra, K. (2017). Nanosilica extraction from processed agricultural residue using green technology. *Journal of Cleaner Production*, 143: 1284-1290.
- [8]. Shen, Y. (2017). Rice husk silica derived nanomaterials for sustainable applications. *Renewable and Sustainable Energy Reviews*, 80: 453–466.
- [9]. Zhang, H., Ding, X., Chen, X., Ma, Y., Wang, Z., and Zhao, X. (2015). A new method of utilizing rice husk: Consecutively preparing D-xylose, organosolv lignin, ethanol and amorphous superfine silica. *Journal of Hazardous Materials*, 291: 65–73.
- [10]. Asuncion, M. Z., Hasegawa, I., Kampf, J.W., and Laine, R.M. (2005). The selective dissolution of rice hull ash to form $[\text{OSiO}1.5]8[\text{R}_4\text{N}]8$ ($\text{R} = \text{Me, CH}_2\text{CH}_2\text{OH}$) octasilicates. Basic nanobuilding blocks and possible models of intermediates formed during biosilicification processes. *Journal of Materials Chemistry*, 15: 2114–2121.
- [11]. Bansal, V., Ahmad, A., and Sastry, M. (2006). Fungus-mediated biotransformation of amorphous silica in rice husk to nanocrystalline silica. *Journal of the American Chemistry Society*, 128 (43): 14059-14066.

Rice straw capabilities for production of silica nanostructures

A. F. Sorush; M.Sc Graduate, Department of Wood and Paper science, Savadkoo Branch, Islamic Azad University, Savadkoo, Iran

J. Ebrahimpour Kasmani; Assoc. Prof. Department of Wood and Paper science, Savadkoo Branch, Islamic Azad University, Savadkoo, Iran

S. R. Djafrai Petroudy*; Assist. Prof., Biorefinery Engineering Department, New Technologies Faculty, Shahid Beheshti University, Zirab, Savadkoh, Mazandaran Province, I.R. Iran

(Received: 18 July 2018, Accepted: 27 August 2018)

ABSTRACT

Annually huge amount of un-used rice straw after rice harvesting were burned due to no specific utilization. Whereas, based on the biorefinery concept there is possibility to use these agricultural residues for production of high value added products. So, this study was aimed to extract the silica from the rice straw (*Oryza Sativa* var *Indica*) as one of the important agro-industrial residues in the country and its capabilities for production of silica nanostructures based on the mentioned concept. After washing, drying and grinding of rice straw samples, some of them were separately leached with a hydrochloric acid and some ones with a sulphuric acid at concentration of 0.5 M for 30 min with constant stirring. Afterwards, the silica content of acid-leached and un-leached rice straw samples was measured in a muffle furnace with varying temperatures at 500, 600, 700, 800 and 900°C for 2 h. The results were obtained from Energy Dispersive X-ray (EDX) and X-ray Fluorescence (XRF) demonstrated the maximum presence of silica into the rice straw ash. Two of aforementioned spectroscopy methods explored the higher content and purity of acid-leached rice straw samples in comparison to un-leached rice straw ones. The Field Emission Scanning Electron Microscopy (FESEM) images demonstrated that the prepared silica nanostructures had a spherical shape and their average particle sizes were 30 nanometer for un-leached rice straw samples and less than 12 nanometer for acid-leached ones.

Keywords: Ash, hydrochloric acid, rice straw, sulphuric acid, nanosilica

* Corresponding Author, Email: sr_jafari@sbu.ac.ir, Tel: +989111289554